

# Removal of Cd (II) Ion from Aqueous Solution Using Nickel Ferrite Magnetic Nanoparticles Cross-Linked Chitosan

**A. Homayonfard<sup>1</sup>, M. Miralinaghi<sup>2</sup>, R. Haji Seyed Mohammad Shirazi<sup>3</sup>, E. Moniri<sup>4</sup>**

1. Former Graduate Student of Environmental Engineering, Dept. of Environmental Engineering, Tehran Science and Research Branch, Islamic Azad University, Tehran, Iran
2. Assist. Prof., Dept. of Chemistry, Varamin-Pishva Branch, Islamic Azad University, Varamin, Iran  
(Corresponding Author) m\_miralinaghi@iauvaramin.ac.ir
3. Assist. Prof., Dept. of Environmental Engineering, Tehran Science and Research Branch, Islamic Azad University, Tehran, Iran
4. Assoc. Prof., Dept. of Chemistry, Varamin-Pishva Branch, Islamic Azad University, Varamin, Iran

(Received June 1, 2018 Accepted Apr. 29, 2019)

**To cite this article:**

Homayonfard, A., Miralinaghi, M., Shirazi, R. H. S. M., Moniri, E. 2020. "Removal of Cd(II) Ion from aqueous solution using nickel ferrite magnetic nanoparticles cross-linked chitosan" Journal of Water and Wastewater, 31(3), 112-127. Doi: 10.22093/wwj.2019.118849.2631 (In Persian)

## Abstract

Cadmium is one of the non-biodegradable and extremely toxic heavy metals that enter into the aquatic environment by various sources. In order to provide a safe and clean water supply to the public, there is a crucial need to take some measures for removal of cadmium from wastewaters prior to their disposal in the environment. In the present study, a NiFe<sub>2</sub>O<sub>4</sub>-CS magnetic nanocomposite was prepared by a cross-linking reaction of chitosan with nickel ferrite (NiFe<sub>2</sub>O<sub>4</sub>) nanoparticles using glutaraldehyde as the cross-linking agent. The structure, morphology, and magnetic behavior of the NiFe<sub>2</sub>O<sub>4</sub>-CS were characterized by FTIR, XRD, FE-SEM, EDX, VSM analysis. The adsorption property of Cd (II) onto NiFe<sub>2</sub>O<sub>4</sub>-CS composite and the different factors that affect the adsorption, such as pH value, contact time, initial Cd (II) concentration, and the presence of foreign metal ions were extensively investigated. The Cd (II) removal efficiency of 95% was obtained within 60 min at pH 7.0 with initial Cd (II) concentration of 10 mg/L using CS/NiFe<sub>2</sub>O<sub>4</sub>. High amine and hydroxyl density of chitosan facilitated the chelation with Cd (II) ions, resulting in efficient adsorption. The pseudo-second-order kinetic model provided the best fit to experimental adsorption data and the equilibrium data could be well described by Langmuir adsorption isotherm. Adsorption/desorption results demonstrated that reusability of prepared NiFe<sub>2</sub>O<sub>4</sub>-CS was considerable. The results showed that NiFe<sub>2</sub>O<sub>4</sub>-CS could be employed as an effective and potential adsorbent for application in the removal of Cd (II) from wastewater.

**Keywords:** Wastewater Treatment, Adsorption, Magnetic Nanocomposite, Heavy Metals.



## حذف یون کادمیم از محلول آبی با استفاده از نانوذرات مغناطیسی نیکل فریت دارای اتصال عرضی با کیتوزان

اشرف همايونفرد<sup>۱</sup>، مهسا سادات میرعلینقی<sup>۲</sup>، رضا حاجی سید محمد شیرازی<sup>۳</sup>، الهام منیری<sup>۴</sup>

۱- دانشآموخته کارشناسی ارشد مهندسی محیط زیست، دانشکده محیط زیست، واحد علوم و تحقیقات، دانشگاه آزاد اسلامی، تهران، ایران

۲- استادیار، گروه شیمی، دانشکده علوم پایه، واحد ورامین- پیشوای دانشگاه آزاد اسلامی، ورامین، ایران

(نویسنده مسئول) m\_miralinaghi@iauvararamin.ac.ir

۳- استادیار، گروه منابع آب، دانشکده محیط زیست، دانشگاه آزاد اسلامی، واحد علوم و تحقیقات، تهران، ایران

۴- دانشیار، گروه شیمی، دانشکده علوم پایه، دانشگاه آزاد اسلامی، واحد ورامین- پیشوای، ورامین، ایران

(دریافت ۹۷/۳/۱۱ پذیرش ۹۸/۲/۹)

برای ارجاع به این مقاله به صورت زیر اقدام بفرمایید:

همايونفرد، ا.، میرعلینقی، م.س.، حاجی سید محمد شیرازی، ر.، منیری، ا.، "حذف یون کادمیم از محلول آبی با استفاده از نانوذرات مغناطیسی

نیکل فریت دارای اتصال عرضی با کیتوزان" مجله آب و فاضلاب، ۳۱(۲)، ۱۱۲-۱۲۷. doi: 10.22093/wwj.2019.118849.2631

### چکیده

کادمیم یکی از فلزات سنگین تجزیه‌ناپذیر و بسیار سمی است که از منابع مختلف وارد محیط‌های آبی می‌شود. دستیابی به ذخایر آب پاک و سالم مستلزم در نظر گرفتن تمهیداتی برای حذف کادمیم از پساب‌ها، پیش از تخلیه در محیط زیست است. در این پژوهش، نانوکامپوزیت مغناطیسی  $\text{NiFe}_2\text{O}_4\text{-CS}$  با واکنش ایجاد اتصال عرضی میان کیتوزان و نانوذرات نیکل فریت ( $\text{NiFe}_2\text{O}_4$ ) با استفاده از گلوتارآلدئید به عنوان عامل ایجاد کننده اتصال عرضی تهیه شد. ساختار، مورفوЛОژی، و رفتار مغناطیسی  $\text{NiFe}_2\text{O}_4\text{-CS}$  با آنانالیزهای FTIR، XRD، VSM، EDX، FE-SEM، و CS-NiFe<sub>2</sub>O<sub>4</sub> عوامل مؤثر بر آن نظیر pH، زمان تماش، غلظت اولیه کادمیم، و حضور یون‌های فلزی خارجی به طور کامل بررسی شد. بازده حذف کادمیم با غلظت اولیه ۱۰ میلی‌گرم در لیتر در pH ۷ و زمان ۶۰ دقیقه با  $\text{NiFe}_2\text{O}_4\text{-CS}$  به ۹۵ درصد رسید. چگالی بالای آمین و هیدروکسیل در کیتوزان، تشکیل کی لیت با یون‌های کادمیم را تسهیل می‌سازد و بازده فرایند جذب سطحی را افزایش می‌دهد. مدل سینتیکی شبه مرتبه اول، برآش بهتری با داده‌های تجربی جذب داشت و داده‌های تعادلی با همدمای جذبی لاتگمیر به خوبی توصیف شدند. نتایج جذب/واجدب نشان داد که  $\text{NiFe}_2\text{O}_4\text{-CS}$  تهیه شده قابلیت استفاده مجدد در فرایند جذب سطحی را دارا است. مطابق نتایج این پژوهش،  $\text{NiFe}_2\text{O}_4\text{-CS}$  می‌تواند به عنوان یک جاذب بالقوه مؤثر در حذف کادمیم از پساب مورد استفاده قرار گیرد.

**واژه‌های کلیدی:** تصفیه پساب، جذب سطحی، نانوکامپوزیت مغناطیسی، فلزات سنگین

### ۱- مقدمه

کادمیم یکی از فلزات به شدت سمی در آب آشامیدنی است. مقادیر انداز هر یک از ترکیبات کادمیم آلودگی‌های بسیاری را ایجاد می‌کند. عوارض کوتاه‌مدت مصرف کادمیم، تهوع،



کیتوزان در مقایسه با کربن فعال و سایر جاذب‌های رایج به کار رفته در تصفیه مواد آلی و معدنی، جاذبی کم هزینه و کارآمد است (Gupta and Suhas, 2009). گزارش‌های متعددی درباره عملکرد کیتوزان به عنوان جاذب برای حذف انواع آلاینده‌ها شامل فلزات، مواد رنگرا، مواد فنولی، فلوراید، و فسفات‌ها از آب و پساب ارائه شده است. پروتونه شدن گروه‌های آمین کیتوزان در محیط‌های اسیدی منجر به جذب آئینون‌های فلزی از طریق تبادل یون می‌شود. خواص کی‌لیت‌کنندگی کیتوزان و مشتقات آن برای یون‌های فلزی را می‌توان ناشی از فراوانی گروه‌های عاملی نظری استامید، آمین نوع اول و یا گروه‌های هیدروکسیل دانست که به آن قابلیت متصل شدن<sup>۳</sup> به یون‌های فلزی مختلف را می‌بخشد. گزینش پذیری کیتوزان ویژگی بسیار مطلوبی است؛ از این نظر که یون‌های فلزات قلیایی و قلیایی خاکی، کی‌لیت نمی‌شوند، در صورتی که یون‌های فلزات واسطه و پس‌واسطه<sup>۴</sup> جدا می‌شوند (Reddy et al., 2013).

جداسازی جاذب‌های بر پایه کیتوزان از محلول آبی پس از انجام فرایند جذب سطحی با روش‌های جداسازی مرسوم نظری فیلتر کردن و تهشیینی دشوار است؛ زیرا ممکن است موجب انسداد فیلترها شوند و یا از آن‌ها عبور کنند. به علاوه، مواد جاذب، به دلیل تولید لجن در صورت رها شدن در طبیعت آلودگی ثانویه ایجاد می‌کنند. در سال‌های اخیر، برای غلبه بر این مشکلات و سهوالت جداسازی و بازیابی مواد جاذب، فرایند جداسازی مغناطیسی به عنوان روشی جایگزین برای تصفیه آب و پساب ارائه شده است (Sivashankar et al., 2014, Mehta et al., 2015, Kefeni et al., 2017, Siddiqui and Chaudhry, 2017).

مزیت اصلی این فناوری، خالص‌سازی از پساب در زمانی کوتاه با استفاده از حداقل انرژی است (Siddiqui et al., 2017). تاولر و همکاران در سال ۱۹۹۶ بازیافت رادیوم، سرب، و پولونیوم را از نمونه‌های آب دریا با یک جاذب مغناطیسی شامل منگنز دی‌اکسید پوشانده شده با مگنتیت گزارش دادند (Towler et al., 1996).

در سال ۲۰۱۸، کامپوزیت مغناطیسی  $\text{NiFe}_2\text{O}_4$ /هیدروکسی آپاتیت/گرافن (NiFe<sub>2</sub>O<sub>4</sub>/HAP/GQDs) سنتز و برای حذف یون گرفت (Kahrizi et al., 2018). نتایج نشان داد که در شرایط بهینه

کادمیم در بدن انسان نسبتاً طولانی و بین ۱۰ تا ۳۵ سال است (Ihsanullah et al., 2016).

به طور طبیعی، سالانه حدود ۲۵۰۰ تن کادمیم وارد محیط زیست می‌شود. حدود نیمی از این کادمیم از طریق هوای گل‌سنگ‌ها وارد رودخانه‌ها می‌شود. آتش‌سوزی گل‌سنگ‌ها و آتش‌شکن‌های بشری مانند شیرابه‌های زباله‌های صنعتی، تولید کودهای فسفاته مصنوعی از منابع مهم متشرکننده کادمیم هستند (He et al., 2017). در اکوسیستم‌های آبی، کادمیم در صدف‌های دریایی، میگوها، خرچنگ‌ها و ماهی‌ها تجمع می‌یابد. سازمان بهداشت جهانی<sup>۱</sup>، حداکثر میزان روزانه قابل تحمل کادمیم در بدن را ۶۰ ppb اعلام کرده است. آذانس حفاظت از محیط زیست آمریکا<sup>۲</sup> نیز حداکثر سطح مجاز این عنصر در آب آشامیدنی را ۵ ppb تعیین کرده است. از این رو، تصفیه پساب از این عنصر به شدت سمی موضوعی با اهمیت است.

روش‌های زیادی نظری روش‌های رسوب‌دهی شیمیایی، انعقاد، فیلتر کردن، اکسایش، و بیولوژیکی برای حذف فلزات سنگین از آب پیشنهاد شده است. هر یک از این روش‌ها، دارای مزایا و محدودیت‌هایی است. از میان محدودیت‌ها می‌توان به عدم کارایی بالا، نداشتن صرفه اقتصادی، حذف مقادیر اندک آلاینده، و تولید لجن سمی یا سایر مواد جانی خطرناک اشاره کرد (Jafari et al., 2016).

آخری<sup>۳</sup> روش جذب سطحی به یک به فناوری پر کاربرد برای حذف هر دو نوع آلاینده آلی و معدنی تبدیل شده است (Mohan and Pittman, 2007, Miretzky and Cirelli, 2009) منظور مواد مختلفی به عنوان جاذب مورد بررسی قرار گرفته‌اند (Lim and Aris, 2013, Mohan et al., 2014, Ahmed and Ahmaruzzaman, 2016, Ihsanullah et al., 2016, Inyang et al., 2015, Vilela et al., 2016).

امروزه، استفاده از جاذب‌های متخلخل از پلیمرهای طبیعی توجه بسیاری را به خود معطوف کرده است و پلی‌ساقاریدهای نظری کیتوزان و مشتقات آن به دلیل ویژگی‌های خاص، مورد استفاده پژوهشگران هستند (Niu et al., 2007, Crini and Badot, 2008).

<sup>3</sup> Coordinating  
<sup>4</sup> Post transition

<sup>1</sup> World Health Organization (WHO)  
<sup>2</sup> U.S. Environmental Protection Agency (USEPA)



**۲-۲- تهیه محلول‌های کادمیم**  
 ۵۰ میلی‌لیتر محلول ذخیره اولیه از نمک نیترات کادمیم با غلظت ۵۰۰ میلی‌گرم در لیتر تهیه شد. غلظت‌های مختلف مورد نیاز از محلول ذخیره ثانویه با غلظت ۱۰۰ میلی‌گرم در لیتر آماده شدند. pH محلول‌ها با استفاده از pH متر (مدل 20 CRISON BASIC) و NaOH و HCl ۰/۱ مولار تنظیم شد.

**۳-۲- تهیه نانوکامپوزیت مغناطیسی NiFe<sub>2</sub>O<sub>4</sub>-CS و نانوذرات مغناطیسی NiFe<sub>2</sub>O<sub>4</sub>**  
 ابتدا ۸/۰ گرم کیتوزان در ۵۰ میلی‌لیتر بافر استیک اسید/سدیم استات حل شد. سپس ۲/۷ گرم FeCl<sub>3</sub>.6H<sub>2</sub>O و ۱/۱۹ گرم NiCl<sub>2</sub>.6H<sub>2</sub>O به ۴۰ میلی‌لیتر آب دیونیزه افزوده و به مدت ۲۰ دقیقه در حمام فراصوت (مدل wise clean) کرده در دمای اتاق قرار داده شد. سپس محلول کیتوزان به این سوپاپانسیون افزوده و در حمام فراصوت همزده شد. سوپاپانسیون حاصل به یک بالن ته گرد سه دهانه منتقل شد. مقدار ۳ میلی‌لیتر سود ۶ مولار به صورت قطره قطره با دمای ۳۵۳ درجه کلوین در اتمسفر گاز نیتروژن تحت هم‌زدن سریع و مداوم به محتويات بالن اضافه شد تا pH به ۱۰ برسد. با اتمام سود، ۰/۵ میلی‌لیتر گلوتارآلدید به عنوان عامل ایجاد کننده اتصال عرضی از طریق دکاتنور به بالن افزوده شد و این شرایط ۱/۵ ساعت در دمای ۳۴۳ درجه کلوین ادامه یافت. سوپاپانسیون حاصل به مدت ۴ ساعت داخل کوره با دمای ۵۷۳ درجه کلوین قرار داده شد تا کامل خشک شود. آنگاه، نانوکامپوزیت NiFe<sub>2</sub>O<sub>4</sub>-CS چندین بار با استیک اسید ۵/۰ مولار اتانول و آب دیونیزه شسته و با آهنربا جداسازی شد و در نهایت در آون با دمای ۳۳۳ درجه کلوین به مدت ۲ ساعت خشک شد. نانوذرات مغناطیسی NiFe<sub>2</sub>O<sub>4</sub> بدون استفاده از کیتوزان و به روش مشابه تهیه شد (Homayonfard et al., 2018).

#### ۴-۲- آزمایش‌های جذب سطحی

در یک اrlen ۱۰۰ میلی‌لیتری، مقدار مشخصی از نانوکامپوزیت NiFe<sub>2</sub>O<sub>4</sub>-CS به ۲۵ میلی‌لیتر محلول کادمیم با غلظت‌های مشخص و در یک pH معین افزوده شد و در دمای محیط با استفاده از شیکر مدل IKA<sup>R</sup> KS 260 basic، آلمان در ۲۰۰ rpm شد. در فواصل زمانی معین، جاذب بهوسیله آهنربا از محلول جدا و

pH برابر ۶، زمان تماس ۱۰ دقیقه، دمای ۲۹۸ درجه کلوین، ۰/۰۳ میلی‌گرم جاذب و غلظت اولیه ۱۰ میلی‌گرم در لیتر از یون کادمیم، حذف به بیش از ۹۷ درصد می‌رسد.

لیو و همکاران فریت‌های مغناطیسی آهن را به روش هرسوبی در pH مهای مختلف سنتز و کارایی آنها برای حذف یون کادمیم از محیط آبی را مقایسه کردند (Liu et al., 2018)

بهترین pH برای سنتز فریت مغناطیسی با بیشترین کارایی در حذف کادمیم برابر ۹ بود. حداقل ظرفیت فریت مغناطیسی سنتز شده در دمای ۲۹۸ درجه کلوین، pH برابر ۸، و زمان تماس ۱۵۰ دقیقه برای جذب یون کادمیم ۱۶۰/۹ میلی‌گرم در لیتر به دست آمد.

زوار موسوی و لطفی نانوذرات مغناطیسی اصلاح شده با خاکستر برگ زیتون را برای حذف یون کادمیم از محلول آبی به کار برند (Zavar Mousavi and Lotfi, 2015). بازده حذف یون کادمیم با غلظت اولیه ۱۰ میلی‌گرم در لیتر در دمای ۲۷۸ درجه کلوین، pH برابر ۶، و زمان تماس ۵ دقیقه با ۰/۰۵ گرم جاذب برابر ۶۲ درصد بود که با افزایش دما به ۳۱۸ درجه کلوین به حدود ۴۲ درصد کاهش یافت.

کاظمی‌نژاد و همکاران برای حذف یون کادمیم از محیط‌های آبی از نانوذرات مغناطیسی هیدروکسی آپاتیت استفاده کردند. بیشترین بازده حذف یون کادمیم با غلظت اولیه ۲۰ میلی‌گرم در لیتر در pH ۵/۵، زمان تماس ۳۰ دقیقه با ۰/۱ گرم جاذب برابر با ۱۰۰ درصد بود که با افزایش غلظت اولیه کادمیم به ۳۰۰ میلی‌گرم در لیتر به حدود ۴۶ درصد کاهش یافت (Kazeminezhad et al., 2014).

در این پژوهش، امکان استفاده از نانوذرات مغناطیسی نیکل فریت اصلاح شده با کیتوزان (NiFe<sub>2</sub>O<sub>4</sub>-CS) به عنوان جاذب برای حذف کادمیم (II) از محلول‌های آبی مورد آزمایش قرار گرفت.

#### ۲- مواد و روش‌ها

##### ۲-۱- مواد شیمیایی

مواد شیمیایی مورد استفاده در این پژوهش، همگی از شرکت سیگما تهیه شدند، لذا دارای خلوص تجزیه‌ای کافی بودند.



شدن. برای مقایسه، آزمایش مشابهی در محلول حاوی  $Cd^{2+}$  تنها انجام شد. هر آزمایش سه بار تکرار شد. برای ارزیابی میزان جذب یون‌ها در حضور یکدیگر پارامتر درصد استخراج ( $E\%$ ) از معادله ۳ محاسبه شد

$$E(\%) = \frac{(C_0 - C_e)}{C_0} \quad (3)$$

#### ۷-۲- جذب سطحی کادمیم در نمونه‌های حقیقی

برای بررسی کارایی  $NiFe_2O_4-CS$  بر میزان جذب کادمیم در محیط حقیقی، ابتدا ۵ میلی‌لیتر از محلول ذخیره ثانویه با غلظت ۱۰۰ میلی‌گرم در لیتر و ۱۰ میلی‌لیتر بافر با pH بهینه ۷، درون بالن ۱۰۰ میلی‌لیتری ریخته شد و با آب سطحی رودخانه روستای کوکنه در استان گیلان که قبلاً سانتریفیوژ شده و ذرات معلق آن کاملاً حذف شده بود، به حجم رسانده شد. محلول حاصل با غلظت ۵ میلی‌گرم در لیتر به یک ارلن منتقل و ۱/۰۰ گرم جاذب  $NiFe_2O_4-CS$  به آن اضافه و به مدت ۳۰ دقیقه با دستگاه تکاننده با دور همزن ۲۰۰ rpm همزده شد. سپس، جاذب با آهنربا جدا و میزان کادمیم باقیمانده در محلول حقیقی با دستگاه جذب اتمی تعیین شد. این آزمایش سه بار تکرار شد. مقدار واریانس ( $S^2$ ) و انحراف استاندارد (معیار) نسبی<sup>۱</sup> (RSD) از معادلات ۴ تا ۶ محاسبه شد

$$\bar{C}_e = \frac{\sum_{i=1}^n C_{e,i}}{n} \quad (4)$$

$$S^2 = \frac{\sum_{i=1}^n (C_{e,i} - \bar{C}_e)^2}{n-1} \quad (5)$$

$$RSD = S / \bar{C}_e \quad (6)$$

#### ۳- نتایج و بحث

##### ۳-۱- تعیین ویژگی‌های جاذب

##### ۳-۲- طیف‌بینی FTIR

گروه‌های عاملی موجود در ساختار پلیمر CS و نانوکامپوزیت  $NiFe_2O_4-CS$  با استفاده از طیف‌بینی تبدیل فوریه زیر قرمز (Perkin Elmer Spectrum Two، شرکت (FTIR) مدل دستگاه: )

غلظت کادمیم باقیمانده در محلول با اندازه‌گیری میزان جذب آن به وسیله دستگاه جذب اتمی مدل GBC932B استرالیا تعیین شد. مقدار کادمیم جذب شده به ازای هر گرم از جاذب در زمان  $t$  و بازده حذف کادمیم از محلول به ترتیب با معادلات ۱ و ۲ محاسبه شد

$$q_t = \frac{(C_0 - C_t)V}{M} \quad (1)$$

$$R(\%) = \frac{(C_0 - C_t)}{C_0} \times 100 \quad (2)$$

که در آن  $q_t$  مقدار جذب به ازای هر گرم از جاذب،  $C_0$  و  $C_t$  غلظت اولیه و نهایی کادمیم بر حسب میلی‌گرم در لیتر در زمان  $t$  بر حسب دقیقه،  $V$  حجم محلول بر حسب لیتر،  $M$  جرم جاذب بر حسب گرم و  $R$  راندمان حذف بر حسب درصد است.

#### ۴- بازیافت جاذب

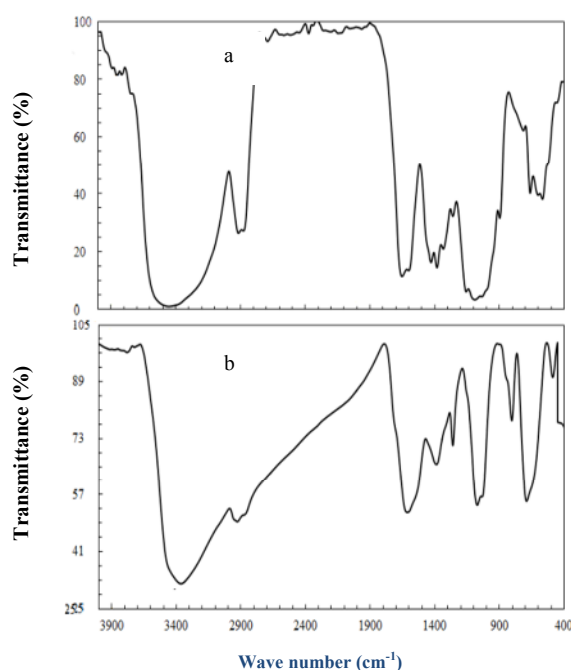
در یک ارلن، جاذب مصرفی با ۱۰ میلی‌لیتر نیتریک اسید ۵/۰ مولار و ۱۰ میلی‌لیتر آب دیونیزه مخلوط شد و با قرار دادن روی شیکر به مدت ۳۰ دقیقه شستشو داده شد. پس از شستشوی جاذب، از آن مجدداً برای جذب کادمیم در محلول شامل ۱۰ میلی‌لیتر یون کادمیم با غلظت ۱۰ میلی‌گرم در لیتر استفاده شد. عمل جذب-واجدب ۱۰ بار تکرار شد تا قابلیت استفاده مجدد از جاذب  $NiFe_2O_4-CS$  برای جذب کادمیم ارزیابی شود.

#### ۵- جذب سطحی کادمیم در حضور یون‌های خارجی

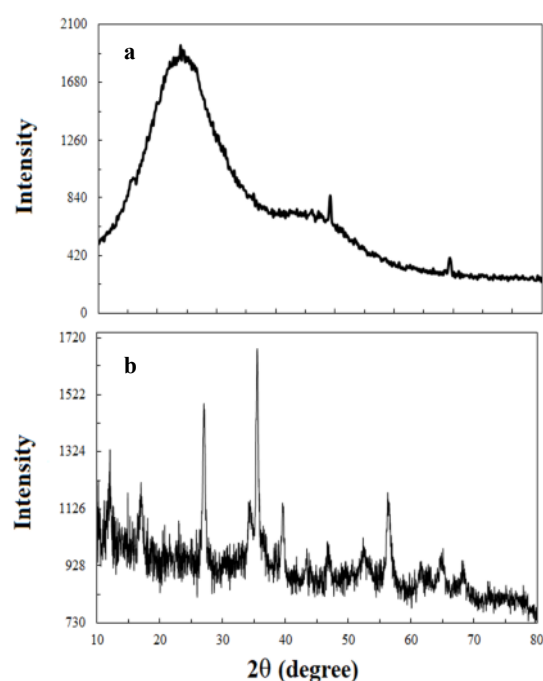
۵ میلی‌لیتر از محلول ذخیره ثانویه یون اصلی کادمیم با غلظت ۱۰۰ میلی‌گرم در لیتر به ۵ میلی‌لیتر از محلول ذخیره ثانویه از یون خارجی با غلظت ۱۰۰ میلی‌گرم در لیتر در یک بالن ۲۵ میلی‌لیتری افزوده و با آب دیونیزه به حجم رسانده شد. محلول حاصل به یک ارلن منتقل و ۰/۰۵ گرم از جاذب  $NiFe_2O_4-CS$  به آن اضافه و به مدت ۶۰ دقیقه با دستگاه شیکر با دور همزن ۲۰۰ rpm همزده شد. سپس جاذب جدا و غلظت کادمیم باقیمانده در هر یک از محلول‌ها در حضور یون خارجی با دستگاه جذب اتمی تعیین شد. یون‌های  $Zn^{2+}$ ,  $Pb^{2+}$ ,  $Cu^{2+}$  و  $Zn^{2+}$  به عنوان یون خارجی در نظر گرفته

<sup>۱</sup> Relative Standard Deviation





**Fig. 1.** FTIR spectra of (a) pure CS and (b)  $\text{NiFe}_2\text{O}_4$ -CS  
شکل ۱- طیف IR (a) CS خالص، (b)  $\text{NiFe}_2\text{O}_4$ -CS



**Fig. 2.** XRD patterns of (a) pure CS and (b)  $\text{NiFe}_2\text{O}_4$ -CS  
شکل ۲- الگوی پراش اشعه ایکس (XRD) (a) CS خالص، (b)  $\text{NiFe}_2\text{O}_4$ -CS

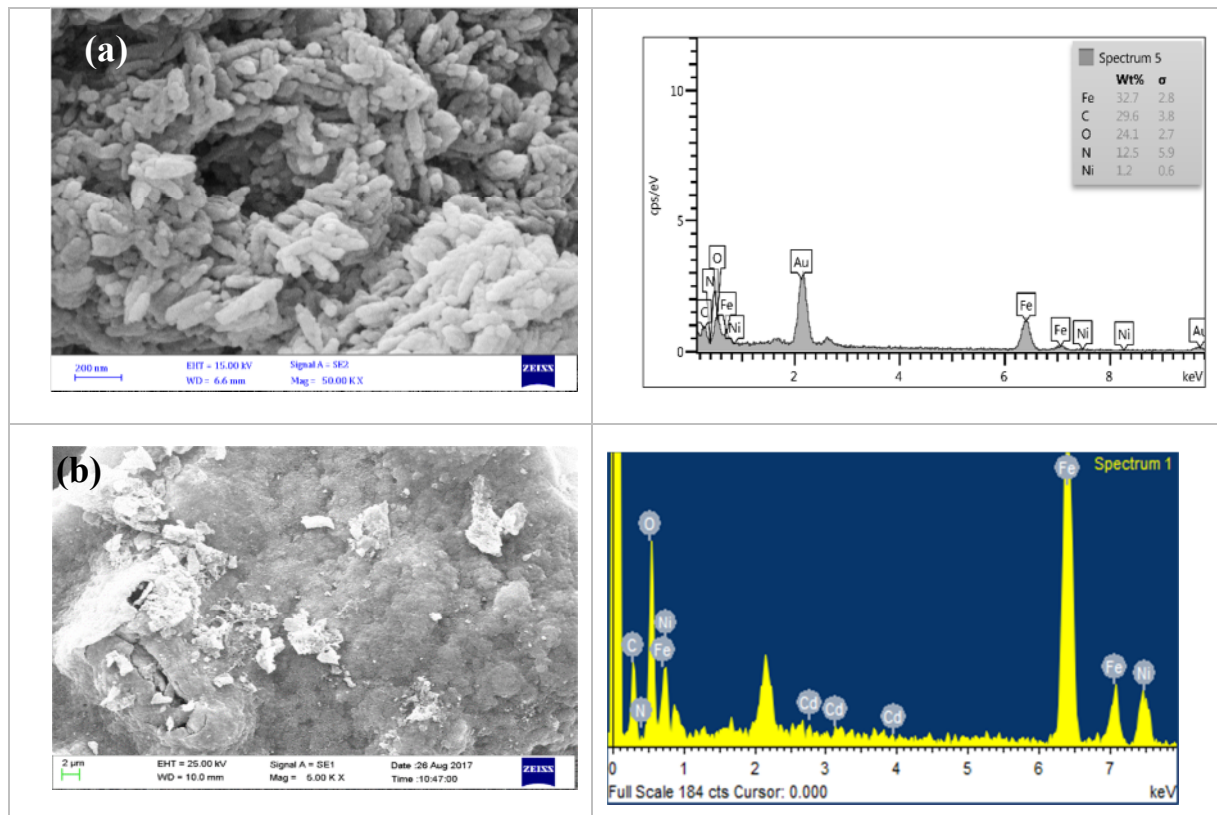
در محدوده ۴۰۰۰ تا  $400\text{ cm}^{-1}$  شناسایی شد. شکل ۱-a و b به ترتیب، طیف FTIR CS و  $\text{NiFe}_2\text{O}_4$ -CS را نشان می‌دهد. نوار جذبی پهن از  $3200\text{ cm}^{-1}$  تا  $3600\text{ cm}^{-1}$  در طیف CS FTIR (شکل ۱-a) به همپوشانی دو ارتعاش کششی  $\text{OH}$  و  $\text{NH}_2$  تعلق دارد. پیک‌های ظاهر شده در حدود  $2850\text{ cm}^{-1}$  تا  $2920\text{ cm}^{-1}$  به ارتعاشات کششی متقارن  $\text{CH}_2$  و  $\text{CH}_3$  نسبت داده می‌شوند. ارتعاشات خمثی  $\text{NH}_2$  و کششی C-O به ترتیب، در  $1645\text{ cm}^{-1}$  و  $1080\text{ cm}^{-1}$  مشاهده می‌شوند (Li et al., 2010). طیف FITR (شکل ۱-b) در مقایسه با CS خالص (شکل ۱-a)، دو پیک جذبی جدید در اعداد موجی  $487\text{ cm}^{-1}$  و  $685\text{ cm}^{-1}$  نشان می‌دهد که به ترتیب، به ارتعاشات کششی  $\text{Ni}-\text{O}$  و  $\text{Fe}-\text{O}$  متعلق است و ناشی از اتصال نانوذرات  $\text{NiFe}_2\text{O}_4$  به گروه‌های آمین CS است (Lingamdinne et al., 2016; Springer et al., 2016).  
به علاوه، جایه‌جایی قابل ملاحظه پیک‌های شاخص مربوط به ارتعاشات کششی هیدروکسیل و آمین از  $3450\text{ cm}^{-1}$  در CS خالص به  $3365\text{ cm}^{-1}$  در  $\text{NiFe}_2\text{O}_4$ -CS، بر هم‌کنش میان این گروه‌ها و نانوذرات  $\text{NiFe}_2\text{O}_4$  را تأیید می‌کند.

### ۲-۱-۳- آنالیز XRD

ساختار بلوری پلیمر CS و نانوکامپوزیت  $\text{NiFe}_2\text{O}_4$ -CS با تکنیک پراش اشعه ایکس (XRD) (مدل دستگاه: X Pert Pro شرکت Panalytical) تعیین شد. الگوهای XRD مربوط به CS و  $\text{NiFe}_2\text{O}_4$ -CS به ترتیب، در شکل ۲-a و b مشاهده می‌شوند. همان‌گونه که از شکل پیداست، کیتوزان یک پیک پهن و قوی در زاویه‌ی پراش  $2\theta = 22.0^\circ / 24.3^\circ$  نشان می‌دهد (Dananjaya et al., 2018).

نتایج آنالیز XRD برای  $\text{NiFe}_2\text{O}_4$ -CS شش پیک شاخص در زوایای پراش  $17.4^\circ / 27.4^\circ / 32.3^\circ / 35.5^\circ / 43.4^\circ / 53.7^\circ$  را نشان می‌دهد که به ترتیب، متعلق به صفحات بلوری (111)، (220)، (311)، (400)، (422) و (511) نیکل فریت با ساختار اسپینل وارونه مکعبی است (Changmai and Purkait, 2017; Santhana K. Kumar and Jiang, 2015).





**شکل ۳-۳-** تصاویر FESEM و طیف‌های EDX کامپوزیت  $\text{NiFe}_2\text{O}_4\text{-CS}$  قبل (a) و بعد (b) از جذب کادمیم

است. هرچند که در برخی نقاط تصویر، نانوذرات  $\text{NiFe}_2\text{O}_4$  به دلیل برهمنش‌های قوی دوقطبی مغناطیسی و اندازه بسیار کوچک تجمع یافته‌اند (Wang et al., 2012). پس از جذب یون فلزی کادمیم تغییرات قابل ملاحظه‌ای در سطح جاذب مشاهده می‌شود (شکل ۳-۳).

آنالیز EDX قبل از جذب یون کادمیم در شکل ۳-a نشان می‌دهد که در کامپوزیت مغناطیسی  $\text{NiFe}_2\text{O}_4\text{-CS}$ ،  $29/6$  درصد کربن،  $32/7$  درصد آهن،  $1/2$  درصد نیکل،  $1/4$  درصد اکسیژن،  $12/5$  درصد نیتروژن وجود دارد. وجود  $61/0$  درصد یون فلزی کادمیم در آنالیز عنصری EDX در نمودار شکل ۳-b نشان‌دهنده موفقیت‌آمیز بودن حذف این یون فلزی توسط جاذب سنتز شده است.

#### ۴-۱-۳- آنالیز VSM

خاصیت مغناطیسی نانوکامپوزیت  $\text{NiFe}_2\text{O}_4\text{-CS}$  در دمای اتاق با اعمال میدان مغناطیسی  $\pm 10 \text{ KOe}$  (کیلو اورستد) (مدل دستگاه:

پیک‌های تیز و قوی ماهیت بلوری نانوذرات  $\text{NiFe}_2\text{O}_4$  را تأیید می‌کنند. اندازه متوسط کریستالی ذرات  $\text{NiFe}_2\text{O}_4$  در نمونه کامپوزیت با استفاده از معادله شرر<sup>۱</sup>،  $9$  نانومتر به دست آمد. این مقدار کمتر از اندازه ذرات در تصاویر FESEM است که با تجمع چندین ذره کریستالی نانوذرات توجیه می‌شود.

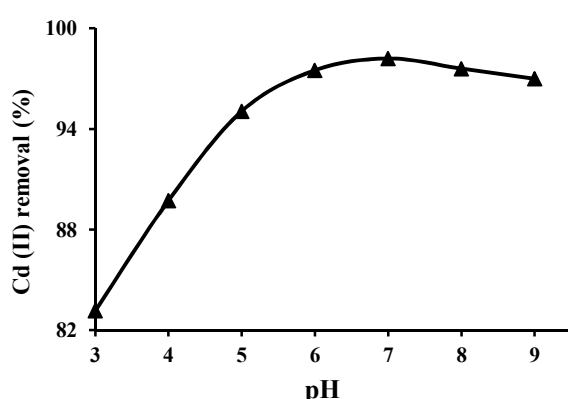
#### ۳-۳-۳- تصاویر میکروسکوپ الکترونی عبوری نشر میدان (FE-SEM)

ویژگی‌های سطحی نانوکامپوزیت  $\text{NiFe}_2\text{O}_4\text{-CS}$  به وسیله تصاویر میکروسکوپ الکترونی عبوری نشر میدان مجهرز به آشکارساز تفکیک انرژی پرتتو X (EDX) (مدل دستگاه: Sigma، شرکت Zeiss آلمان) مشخص شد. شکل ۳-a و b، به ترتیب تصاویر FESEM نانوکامپوزیت  $\text{NiFe}_2\text{O}_4\text{-CS}$  را قبل و بعد از جذب یون کادمیم نشان می‌دهد. متوسط اندازه ذرات  $\text{NiFe}_2\text{O}_4$  در شکل ۳-a-۳ کمتر از  $53$  نانومتر و پراکندگی آنها تقریباً یکنواخت

<sup>۱</sup> Scherrer Equation



NiFe<sub>2</sub>O<sub>4</sub>-CS در محلول آبی به ۹۹ درصد می‌رسد. در pH کم، گروه‌های عاملی آمین و هیدروکسیل موجود در کیتوزان پروتونه و دارای بار مثبت می‌شوند. به علاوه، حضور فراوان H<sup>+</sup> و H<sub>3</sub>O<sup>+</sup> در محلول آبی ممکن است با یون‌های فلزی کادمیم برای جذب روی مکان‌های فعال CS/NiFe<sub>2</sub>O<sub>4</sub> رقابت کنند. به این ترتیب، میان یون‌های فلزی و سطح دارای بار مثبت نانوکامپوزیت نیروی دافعه الکترواستاتیکی به وجود می‌آید و شرایط برای جذب سطحی کادمیم نامناسب‌تر می‌شود. در اغلب مطالعات نیز مشاهده شده است که میزان جذب در pH های پایین، کم است. (Fan et al. 2017, Reddy and Lee, 2013)



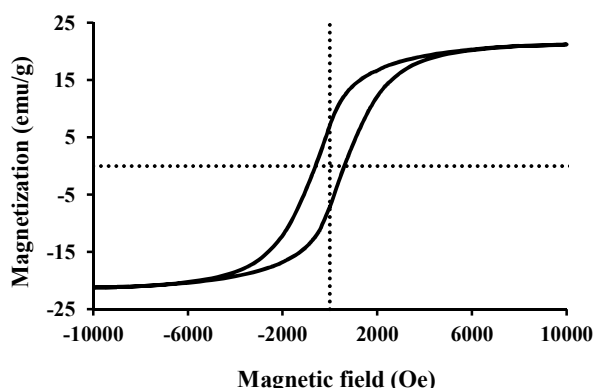
**Fig. 5.** Impact of different pH values on cadmium removal percentage (amount of adsorbent=0.2 g/L, contact time=120 min, initial concentration of cadmium = 10 mg/L)

شکل ۵- تاثیر pH بر بازده حذف کادمیم (مقدار جاذب =

۰/۲ گرم در لیتر جاذب، زمان تماس ۱۲۰ دقیقه، غلظت اولیه کادمیم = ۱۰ میلی گرم در لیتر)

در محدوده pH بالاتر، تعداد یون‌های H<sup>+</sup> کاهش می‌یابد و سطح NiFe<sub>2</sub>O<sub>4</sub>-CS دارای بار منفی می‌شود که برای حذف یون‌های فلزی از طریق برهم‌کنش‌های جاذبه الکترواستاتیکی مناسب‌تر است. به علاوه، گروه‌های عاملی با افزایش pH دپروتونه می‌شوند و زوج الکترون‌های آزاد برای کوئوردینه شدن با یون فلزی کادمیم و تشکیل کمپلکس NiFe<sub>2</sub>O<sub>4</sub>-CS-فلز در دسترس قرار خواهند گرفت. کاهش جذب سطحی کاتیون‌های فلزی در آب pH بسیار بالا، به تشکیل گونه‌های هیدروکسید فلزی محلول در آب نظیر Cd(OH)<sup>+</sup> و یا رسوب نامحلول Cd(OH)<sub>2</sub> نسبت داده می‌شود. (Liu et al., 2016).

MDKFD، شرکت دانش پژوهان کویر کاشان، ایران) مورد بررسی قرار گرفت. مقدار اشباع مغناطیسی<sup>۱</sup> (M<sub>s</sub>) برای جاذب CS/NiFe<sub>2</sub>O<sub>4</sub> ۱۹/۷۷ emu/g برابر CS/NiFe<sub>2</sub>O<sub>4</sub> است. وجود حلقه هیسترزیس کوچک در شکل ۴ نشان‌دهنده ماهیت فرومغناطیس (Santhosh et al., 2015, Reddy et al., 2013) است. چنین موادی پاسخ‌گویی مغناطیسی مناسبی دارند و به آسانی از محلول با اعمال میدان مغناطیسی خارجی جدا می‌شوند. بنابراین، می‌توان از کامپوزیت NiFe<sub>2</sub>O<sub>4</sub>-CS به عنوان جاذبی با قابلیت بازیابی در حذف مؤثر آلاینده‌های فلزی از نمونه‌های آبی استفاده کرد. مقدار اشباع مغناطیسی (M<sub>s</sub>) برای جاذب CS/NiFe<sub>2</sub>O<sub>4</sub> ۱۹/۷۷ emu/g است.



**Fig. 4.** VSM curve of magnetic NiFe<sub>2</sub>O<sub>4</sub>-CS  
شکل ۴- منحنی VSM برای NiFe<sub>2</sub>O<sub>4</sub>-CS مغناطیسی

### ۳-۱-۲-۳- اثر pH بر جذب سطحی

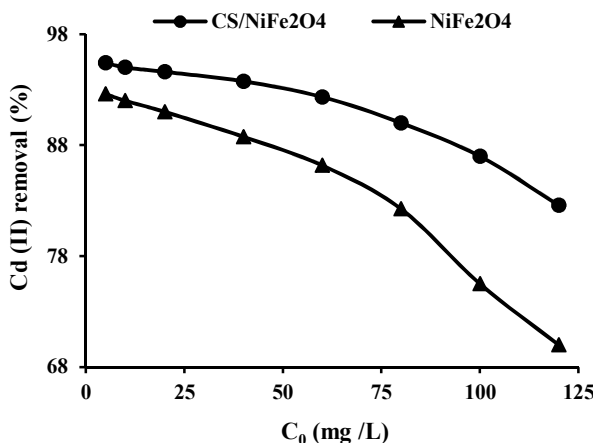
pH یکی از مهم‌ترین پارامترهایی است که جذب آلاینده‌ها روی سطح مواد جاذب را کنترل می‌کند. در این مطالعه اثر pH اولیه محلول در محدوده ۳ تا ۹ بر بازده حذف یون فلزی کادمیم روی NiFe<sub>2</sub>O<sub>4</sub>-CS مورد بررسی قرار گرفت. در pH ۳ پلیمر کیتوزان حل می‌شود و در pH بیشتر از ۹ یون‌های فلزی به صورت هیدروکسید رسوب می‌کنند. شکل ۵ تأثیر pH بر بازده حذف یون کادمیم توسط نانوکامپوزیت NiFe<sub>2</sub>O<sub>4</sub>-CS-pH را نشان می‌دهد. مطابق این شکل، بازده حذف یون‌های فلزی با افزایش pH، افزایش می‌یابد، به طوری که در pH برابر ۷ بازده حذف کادمیم به وسیله

<sup>1</sup> Saturation magnetization



### ۲-۲-۳- اثر غلظت اولیه یون فلزی

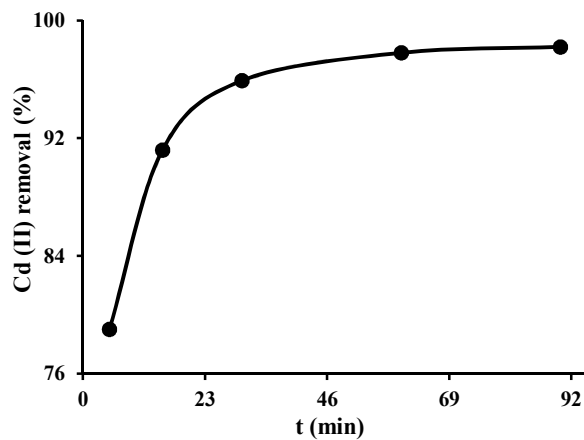
غلظت اولیه آلاینده یک نیروی محركه مهم برای غلبه بر مقاومت انتقال جرم میان فازهای جامد و محلول است. تأثیر غلظت اولیه یون فلزی کادمیم روی بازده حذف آن توسط  $\text{NiFe}_2\text{O}_4$  خالص و نانوکامپوزیت  $\text{NiFe}_2\text{O}_4\text{-CS}$  در محدوده غلظت‌های اولیه ۵ تا ۱۲۰ میلی‌گرم در لیتر از یون کادمیم در pH برابر ۷ و زمان تماس ۶۰ دقیقه مورد بررسی قرار گرفت. شکل ۷ تأثیر غلظت اولیه کادمیم را بر بازده حذف آن توسط دو جاذب سنتزی فوق نشان می‌دهد. از شکل ۷ واضح است که با افزایش غلظت اولیه یون فلزی کادمیم از  $\text{NiFe}_2\text{O}_4\text{-CS}$  به ۱۲۰ میلی‌گرم در لیتر، بازده حذف آن به وسیله  $\text{NiFe}_2\text{O}_4$  از ۹۵ به ۸۲ درصد و در مورد  $\text{NiFe}_2\text{O}_4$  خالص از ۹۲ به ۷۰ درصد می‌رسد. دلیل کاهش بازده حذف با افزایش غلظت اولیه کادمیم، کم شدن تعداد مکان‌های آزاد جذب در غلظت‌های بالای کادمیم است (Hu et al., 2009). نکته مهم دیگر، این که بازده حذف در نانوذرات مغناطیسی اصلاح شده با کیتوزان بیشتر از نانوذرات خالص (اصلاح نشده) است. فراوانی گروه‌های عاملی (نظیر آمین نوع اول و یا گروه‌های هیدروکسیل) روی پلیمر زیستی کیتوزان، به آن قابلیت متصل شدن به یون‌های فلزی را می‌بخشد و بازده حذف کاتیون‌های فلزی به وسیله آن را بالا می‌برد (Reddy et al., 2013).



**Fig. 7.** Impact of different initial concentration on cadmium removal percentage (amount of adsorbent=0.5 g/L, pH=7, contact time=60 min)  
شکل ۷- تأثیر غلظت اولیه بر بازده حذف کادمیم.  
(مقدار جاذب = ۰/۵ گرم در لیتر، pH = ۷، زمان تماس = ۶۰ دقیقه، غلظت اولیه کادمیم = ۱۰ میلی‌گرم در لیتر )

زمان تماس میان جاذب و آلاینده‌های فلزی پارامتری مهم برای ارزیابی ویژگی‌های جذب سطحی مواد جاذب است. اثر زمان تماس بر بازده حذف یون کادمیم توسط نانوکامپوزیت  $\text{NiFe}_2\text{O}_4\text{-CS}$  در pH برابر ۷ و در محدوده زمانی بین ۵ تا ۹۰ دقیقه مورد مطالعه قرار گرفت. شکل ۶ تأثیر زمان بر بازده حذف یون فلزی توسط  $\text{NiFe}_2\text{O}_4\text{-CS}$  سنتزی را نشان می‌دهد. بازده حذف در ۱۵ دقیقه ابتدایی با شبیه تند افزایش می‌یابد.

پس از مدتی، تغییرات آن کندرتر می‌شود و با رسیدن به زمان تعادل دقیقه تقریباً ثابت می‌ماند. سرعت بالای جذب سطحی در ابتدا می‌تواند ناشی از فراوانی مکان‌های فعال سطحی خالی روی  $\text{NiFe}_2\text{O}_4\text{-CS}$  باشد که یون‌های فلزی کادمیم می‌توانند به آسانی با این مکان‌های فعال برهم‌کنش کنند. اما با گذشت زمان، مکان‌های فعال جذب روی  $\text{NiFe}_2\text{O}_4\text{-CS}$  به تدریج اشغال می‌شوند. همچنین، نیروی دافعه بین یون‌های کاتیونی کادمیم از اتصال آنها به مکان‌های جذبی باقیمانده  $\text{NiFe}_2\text{O}_4\text{-CS}$  جلوگیری می‌کند. از این‌رو، از سرعت فرایند جذب سطحی کاسته می‌شود (Liu et al., 2016). بازده حذف کادمیم با غلظت اولیه ۱۰ میلی‌گرم در لیتر در زمان ۶۰ دقیقه به وسیله  $\text{NiFe}_2\text{O}_4\text{-CS}$  در صد بدست آمد.



**Fig. 6.** Impact of contact time on cadmium removal percentage (amount of adsorbent=0.2 g/L, pH=7, initial concentration of cadmium = 10 mg/L)  
شکل ۶- تأثیر زمان تماس بر بازده حذف کادمیم (مقدار جاذب = ۰/۲ گرم در لیتر جاذب، pH = ۷، زمان تماس = ۱۰ دقیقه، غلظت اولیه کادمیم = ۱۰ میلی‌گرم در لیتر )



سرب، میزان حذف یون فلزی کادمیم را به ترتیب، ۵۸، ۶۵، ۵۶ و ۵۰ درصد کاهش می‌دهد. این کاهش را می‌توان ناشی از رقابت یون‌های خارجی با کادمیم برای جذب روی مکان‌های فعال جاذب دانست. به علاوه، وجود یون  $Cu^{2+}$  در محلول آبی مزاحمت بیشتری در حذف یون کادمیم ایجاد می‌کند و حضور یون‌های خارجی  $Zn^{2+}$  و  $Pb^{2+}$  مزاحمت تقریباً یکسانی بر حذف کادمیم دارد. با این حال، گرینش پذیری بالاتری برای کادمیم در مقایسه با سه یون فلزی دیگر دارد. گزینش پذیری بالاتر را می‌توان به تشکیل کمپلکس‌های نسبتاً قوی تر میان کادمیم و گروه‌های عاملی آمین یا هیدروکسیل روی کامپوزیت  $NiFe_2O_4-CS$  نسبت داد (Santhana K. Kumar et al., 2015).

جدول ۱- تأثیر غلظت یون‌های فلزی دیگر بر حذف کادمیم

**Table 1.** Impact of concentration of other metal ions on cadmium removal

Metal ions	$C_e$ (mg/L)	(E%)
$Cd^{2+}$	7.27	100
$Cu^{2+}$	2.57	35.31
$Zn^{2+}$	3.76	51.41
$Pb^{2+}$	3.92	53.89

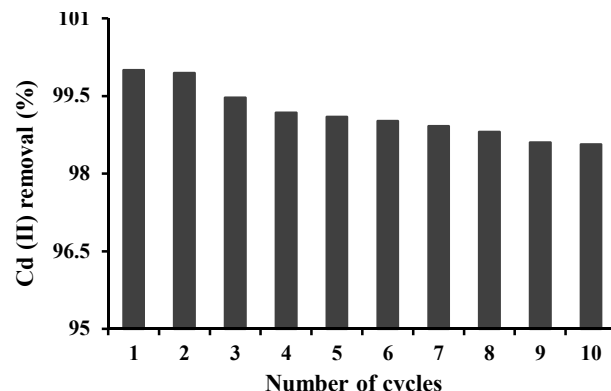
### ۳-۵- کاربرد $NiFe_2O_4-CS$ در جذب سطحی $Cd^{2+}$ در نمونه‌های آبی حقیقی

برای ارزیابی کارایی جاذب سنتز شده در نمونه‌های آبی حقیقی، حذف یون کادمیم توسط  $NiFe_2O_4-CS$  در نمونه آب سطحی رودخانه رostای کوکنه در استان گیلان مطالعه شد. بازده حذف کادمیم و انحراف استاندارد (معیار) نسبی (RSD) در جدول ۲ آمده است. طبق داده‌های جدول، جاذب CS  $NiFe_2O_4-CS$  توانسته است حدود ۹۳/۵ درصد از یون کادمیم افزوده شده به نمونه آب رودخانه رostای کوکنه را حذف کند.

جدول ۲- نتایج حذف کادمیم از نمونه‌های حقیقی

**Table 2.** Results of cadmium removal from real samples

Sample	Added (mg/L)	Found (mg/L)	Removal (%)	RSD
River water	5.00	0.324	93.5	1.88

**Fig. 8.** Results of  $NiFe_2O_4-CS$  recovery on cadmium removal percentageشکل ۸- نتایج بازیابی  $NiFe_2O_4-CS$  بر بازده حذف کادمیم

### ۳-۳- بازیافت جاذب

قابلیت بازیابی جاذب یکی از ویژگی‌های بسیار مهم آن است و به ویژه از نظر اقتصادی و مغرون به صرفه بودن استفاده از جاذب در حذف فلزات سنگین حائز اهمیت است (Li et al., 2015a). شکل ۸ نشان می‌دهد که بازده حذف یون فلزی کادمیم پس از ۱۰ بار شستشوی  $NiFe_2O_4-CS$  توسط محلول اسید نیتریک و آب و استفاده مجدد آن، تنها ۱/۴۴ درصد کاهش داشته است. بنابراین، کامپوزیت  $NiFe_2O_4-CS$  قابلیت بازیابی داشته و می‌تواند در فرایند جذب کادمیم به دفعات استفاده شود.

### ۴-۴- اثر یون‌های خارجی

در اغلب موارد، آب با انواع مختلفی از یون‌های فلزی سنگین آلوده می‌شود. از این رو، مطالعه عملکرد جذب سطحی یک جاذب در محلول حاوی یون‌های فلزی مختلف ضروری است. در این پژوهش، حذف رقابتی بین کادمیم و فلزات دیگر به وسیله جاذب به محلول حاوی یون اصلی کادمیم بررسی شد. فرایند جذب کادمیم در محلول خالص بدون وجود یون فلزی دیگر نیز انجام شد تا مقایسه‌ای میان این حالت با شرایط وجود یون خارجی در محلول کادمیم انجام گیرد. مقدار محاسبه شده برای پارامتر درصد استخراج (E%) یون کادمیم در جدول ۱ آمده است. نتایج بیانگر آن است که جاذب  $NiFe_2O_4-CS$  بدون حضور یون‌های خارجی قادر به حذف ۱۰۰ درصد یون‌های کادمیم است، اما حضور یون‌های مس، روی و



جاذب بسیار سریع است و فرایند جذب سطحی در زمان کوتاهتری به تعادل می‌رسد.

**۷-۳- همدماهای جذب سطحی**  
طراحی یک سامانه جذب سطحی مطلوب مستلزم درک بهتر برهم‌کنش جاذب و جذب شونده است (Li et al., 2015b). داده‌های تعادلی با شکل‌های غیرخطی دو همدماهی جذبی دو پارامتری (لانگمیر، فروندلیچ) تجزیه و تحلیل شد.

مدل لانگمیر بر مبنای جذب همگن و تکلاهای جذب شونده با انرژی‌های یکسان روی مکان‌های فعال جذب در سطح جاذب است. مدل فروندلیچ بر مبنای جذب ناهمگن و چندلاهای جذب شونده روی سطح جاذب است. معادلات ریاضی مدل‌های لانگمیر، فروندلیچ به ترتیب زیر است

$$q_e = \frac{q_m K_L C_e}{1 + k_L C_e} \quad (9)$$

$$q_e = K_F C_e^{1/n} \quad (10)$$

که در آن

$K_L$  ثابت همدماهی لانگمیر و  $(mg/g)$   $q_m$  حداکثر ظرفیت جذب جاذب برای ایجاد تک لایه است.  $(L/mg)$   $n$  ثابت‌های وابسته به دمای فروندلیچ هستند؛ پارامتر  $n$  نشان دهنده ناهمگنی سطح است و  $K_F$  با ظرفیت جذب متناسب است. مقدار پارامترهای همدماهی و ضرایب تعیین ( $R^2$ ) محاسبه شده با استفاده از مدل‌های فوق در جدول ۴ آمده است.

شكل ۱۰ همدماهی جذب سطحی جذب سطحی کادمیم روی نانوکامپوزیت  $NiFe_2O_4-CS$  و نانوذرات  $NiFe_2O_4$  خالص را در شرایط یکسان نشان می‌دهد. از مقایسه ضرایب همبستگی ( $R^2$ ) داده شده در جدول ۴ و نمودارهای نشان داده شده در شکل ۱۰ می‌توان دریافت که جذب سطحی یون فلزی کادمیم روی  $NiFe_2O_4$  با مدل همدماهی لانگمیر بهتر توصیف می‌شود. این امر نشان می‌دهد که جذب کادمیم در مکان‌های همگن هر دو جاذب به صورت تک لایه رخ می‌دهد.

یک ثابت بدون بعد که پارامتر تعادل  $R_A$  نامیده می‌شود،

### ۶-۳- سینتیک جذب سطحی

رایج‌ترین مدل‌های سینتیکی مورد استفاده شامل شبه مرتبه اول و شبه مرتبه دوم برای برآذش داده‌های تجربی جذب یون فلزی روی  $NiFe_2O_4-CS$  به روش غیرخطی و با استفاده از نسخه ۹/۰ نرم‌افزار Mathematica به کار برده شد. معادلات ریاضی مدل‌های شبه مرتبه اول و شبه مرتبه دوم به صورت زیر است

$$q_t = q_e \left( 1 - e^{-k_1 t} \right) \quad (7)$$

$$q_t = \frac{k_2 q_e^2 t}{1 + k_2 q_e t} \quad (8)$$

که در آن

$q_t$  به ترتیب، ظرفیت جذب در زمان تعادل بر حسب میلی‌گرم بر گرم و زمان  $t$  و  $(1/min)$   $k_1$  و  $(g/mg min)$   $k_2$  به ترتیب، ثابت سرعت شبه مرتبه اول و شبه مرتبه دوم است. جدول ۳ پارامترهای سینتیکی و ضرایب تعیین حاصل از برآذش مدل‌ها با داده‌های تجربی در غلظت‌های ۱۰، ۲۰، ۴۰ میلی‌گرم در لیتر از یون فلزی و شکل ۹ نمودارهای مدل‌های سینتیکی جذب سطحی کادمیم را نشان می‌دهد. ضرایب تعیین برای مدل شبه مرتبه دوم برای هر سه غلظت یون فلزی، یک است. بعلاوه، ظرفیت‌های جذب محاسبه شده بر مبنای مدل شبه مرتبه دوم در مقایسه با مدل شبه مرتبه اول انطباق نزدیکتری با ظرفیت‌های جذب تجربی دارند. این امر نشان دهنده آن است که جذب سطحی کادمیم روی  $NiFe_2O_4-CS$  از مدل سینتیکی شبه مرتبه دوم پیروی می‌کند.

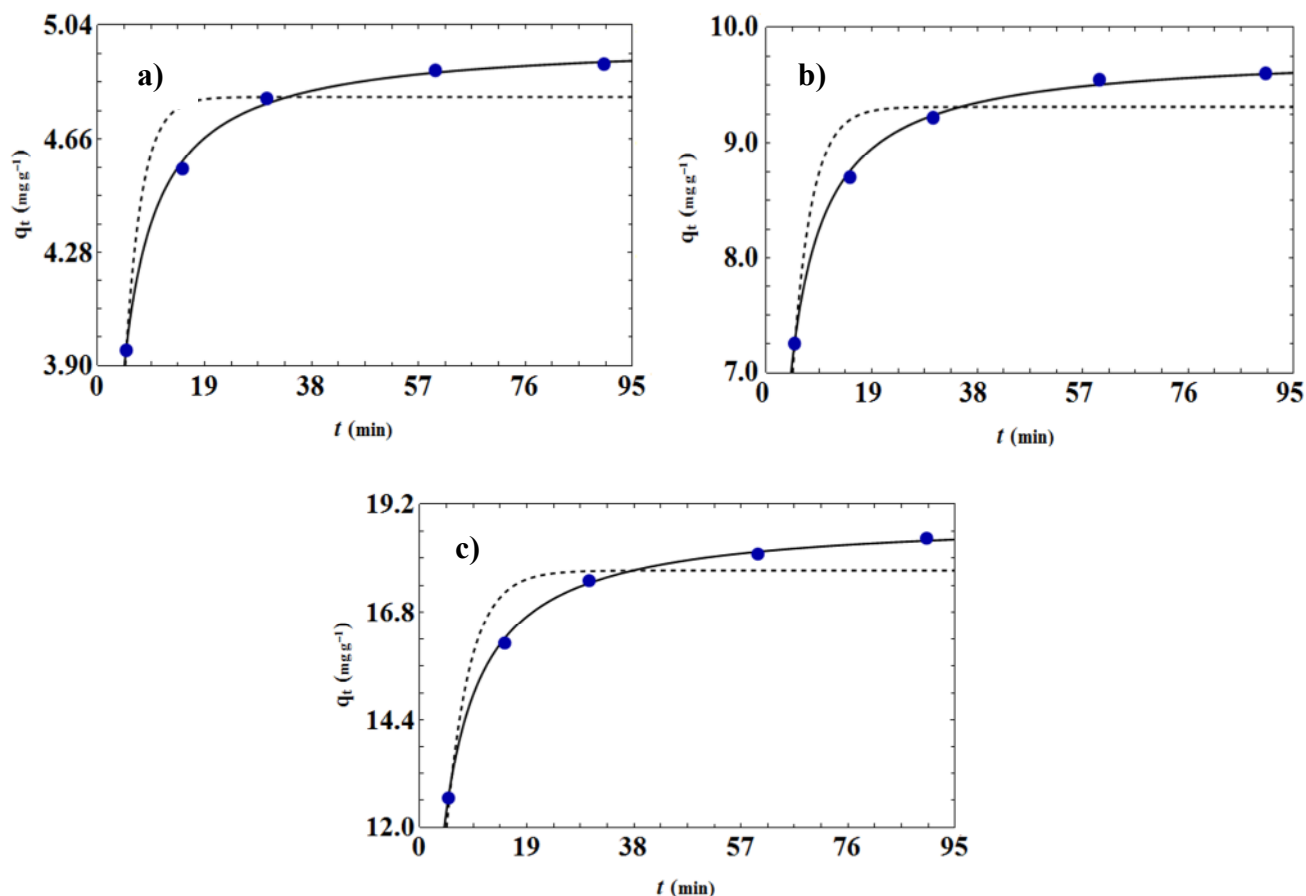
داده‌های جدول ۳ همچنین نشان می‌دهند که با افزایش غلظت اولیه یون کادمیم از ۱۰ به ۴۰ میلی‌گرم در لیتر، ظرفیت جذب تعادلی، از ۴/۹۹ به ۱۸/۹۰ میلی‌گرم بر گرم افزایش می‌یابد، هرچند که ثابت سرعت شبه مرتبه دوم،  $k_2$ ، از  $0.0212 g mg/min$  به  $0.01511 g mg/min$  کاهش پیدا می‌کند. افزایش ظرفیت جذب تعادلی با افزایش غلظت اولیه یون فلزی، می‌تواند به دلیل افزایش نیروی ناشی از گرادیان غلظت باشد (Liu et al., 2016).

به علاوه، در غلظت‌های اولیه پایین جذب یون فلزی روی



جدول ۳- پارامترهای مدل‌های سینتیکی برای جذب سطحی کادمیم روی  $\text{NiFe}_2\text{O}_4\text{-CS}$   
**Table 3.** Kinetic model parameters for cadmium adsorption on  $\text{NiFe}_2\text{O}_4\text{-CS}$

Kinetic model	Parameter	Cd <sup>2+</sup> initial concentration (mg/L)		
		10	20	40
Pseudo first order	$k_1$ (1/min)	0.3412	0.2938	0.2379
	$q_{e,\text{cal}}$ (mg/g)	4.8007	9.3139	17.7292
	$R^2$	0.9994	0.9989	0.9985
Pseudo second order	$k_2$ (g/mg min)	0.1511	0.0576	0.0212
	$q_{e,\text{cal}}$ (mg/g)	4.9896	9.7869	18.9002
	$R^2$	1.0000	1.0000	1.0000
	$q_{e,\text{exp}}$ (mg/g)	4.9100	9.6050	18.4500



**Fig. 9.** Pseudo-first-order (dashed line) and pseudo-second-order (solid line) kinetic models for cadmium adsorption with initial concentration of (a) 10 mg/L, (b) 20 mg/L, and (c) 40 mg/L on  $\text{NiFe}_2\text{O}_4\text{-CS}$

شکل ۹- نمودار غیرخطی مدل‌های سینتیکی شبه مرتبه اول (خط چین) و شبه مرتبه دوم (خط تیره) برای جذب سطحی کادمیم

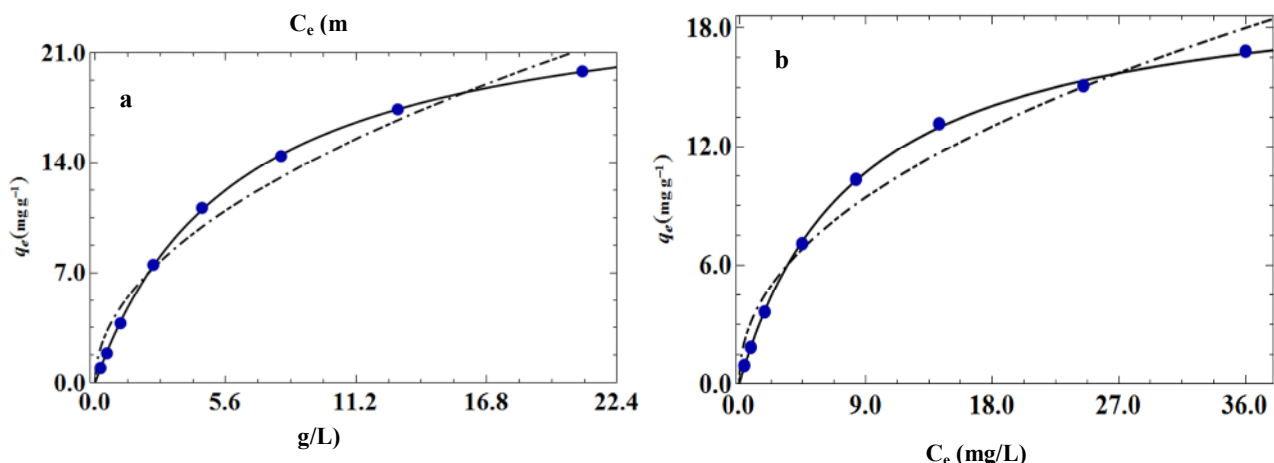
با غلظت‌های (a)، (b) و (c) ۱۰، ۲۰ و ۴۰ میلی‌گرم در لیتر روی  $\text{NiFe}_2\text{O}_4\text{-CS}$



جدول ۴- پارامترهای مدل‌های همدما برای جذب سطحی کادمیم

Table 4. Isotherm model parameters for cadmium adsorption

Isotherm	Parameter	Absorbent	
		NiFe <sub>2</sub> O <sub>4</sub> -CS	NiFe <sub>2</sub> O <sub>4</sub>
Langmuir	q <sub>m</sub> (mg/g)	25.5534	20.5513
	K <sub>L</sub> (L/mg)	0.1643	0.1205
	R <sub>L</sub>	0.0483	0.0646
Freundlich	R <sup>2</sup>	0.9999	0.9998
	K <sub>F</sub> (mg <sup>1-1/n</sup> L <sup>1/n</sup> /g)	4.5989	3.3936
	n	1.9875	2.1482
		R <sup>2</sup>	0.9910
			0.9896

Fig. 10. Langmuir (solid line) and Freundlich (dashed line) isotherm models for cadmium adsorption on (a) NiFe<sub>2</sub>O<sub>4</sub>-CS and (b) NiFe<sub>2</sub>O<sub>4</sub> adsorbents

شکل ۱۰- مدل‌های همدما لانگمیر (خط تیره) و فروندلیچ (خط چین) برای جذب سطحی کادمیم روی جاذب‌های (a) NiFe<sub>2</sub>O<sub>4</sub> (b) .NiFe<sub>2</sub>O<sub>4</sub>-CS (a)

مقدار ثابت ناهمگنی سطح n در مدل فروندلیچ نیز برای جذب نامطلوب کمتر از یک است و برای جذب مطلوب در محدوده ۱ تا ۱۰ قرار دارد (Liu et al., 2016). مقدار n در جدول ۴ برای NiFe<sub>2</sub>O<sub>4</sub>-CS و NiFe<sub>2</sub>O<sub>4</sub> بیش از یک به دست آمد که تأیید دیگری بر مناسب بودن جذب سطحی یون فلزی کادمیم، روی هر دو جاذب مورد بررسی است.

بر طبق جدول ۴ حداقل ظرفیت جذب جاذب، q<sub>m</sub> در ۲۹۸ کلوین و pH ۷ برای NiFe<sub>2</sub>O<sub>4</sub>-CS ۲۵/۵۵ میلی گرم بر گرم و برای NiFe<sub>2</sub>O<sub>4</sub> ۲۰/۵۵ میلی گرم بر گرم است. از این رو، اصلاح NiFe<sub>2</sub>O<sub>4</sub> با کیتوزان که دارای گروههای عاملی بیشتری برای اتصال به یون‌های فلزی است، مقدار q<sub>max</sub> را برای حذف یون فلزی کادمیم بهبود می‌بخشد.

برای بیان ویژگی اصلی همدما لانگمیر به کار می‌رود. R<sub>L</sub> با معادله زیر تعریف می‌شود

$$R_L = \frac{1}{1 + K_L C_0} \quad (11)$$

که در آن K<sub>L</sub> (L/mg) ثابت تعادلی لانگمیر و C<sub>0</sub> بالاترین غلظت اولیه یون فلزی است. مقادیر ۱ < R<sub>L</sub> < ۰ نشان دهنده مطلوب بودن فرایند است (Liu et al., 2016). مقدار R<sub>L</sub> برای جذب سطحی کادمیم روی NiFe<sub>2</sub>O<sub>4</sub> و NiFe<sub>2</sub>O<sub>4</sub>-CS در محدوده صفر تا یک قرار دارد. بنابراین، فرایند جذب روی هر دو جاذب مطلوب است.



به ترتیب، ۲۰/۵۵ و ۲۵/۵۵ میلی‌گرم بر گرم به دست آمد. بازده حذف یون‌های کادمیم پس از ده بار چرخه جذب-واجدب همچنان قابل ملاحظه باقی ماند. مطابق نتایج، کامپوزیت  $\text{NiFe}_2\text{O}_4\text{-CS}$  می‌تواند به عنوان جاذبی مؤثر و کارآمد در جداسازی کادمیم از آب مورد استفاده قرار گیرد.

### ۵- قدردانی

نویسنده‌گان مقاله مراتب قدردانی خود را از دانشگاه آزاد اسلامی واحد علوم تحقیقات تهران و واحد درامین-پیشوا به دلیل حمایت‌های همه جانبه اعلام می‌دارند.

### ۴- نتیجه‌گیری

در این پژوهش، نانوکامپوزیت  $\text{NiFe}_2\text{O}_4\text{-CS}$  به عنوان جاذبی نوین برای حذف یون فلزی  $\text{Cd}^{2+}$  از آب تهیه شد. در  $\text{NiFe}_2\text{O}_4\text{-CS}$  در دمای اتاق فرومغناطیس است و به آسانی با میدان مغناطیسی خارجی از محلول آبی جدا می‌شود. این ویژگی هزینه تصفیه پساب را کاهش می‌دهد. گزینش پذیری  $\text{NiFe}_2\text{O}_4\text{-CS}$  برای جذب سطحی یون‌های کادمیم بیش از یون‌های فلزی  $\text{Pb}^{2+}$ ,  $\text{Cu}^{2+}$ ,  $\text{Zn}^{2+}$  بود. به علاوه،  $\text{NiFe}_2\text{O}_4\text{-CS}$  ظرفیت بالایی را در جذب  $\text{Cd}^{2+}$  نشان داد. حداکثر ظرفیت جذب نانوذرات  $\text{NiFe}_2\text{O}_4$  و نانوکامپوزیت  $\text{NiFe}_2\text{O}_4\text{-CS}$  در ۲۹۸ کلوین و pH برابر ۷ و زمان ۶۰ دقیقه

## References

- Ahmed, M. J. K. & Ahmaruzzaman, M. 2016. A review on potential usage of industrial waste materials for binding heavy metal ions from aqueous solutions. *Journal of Water Process Engineering*, 10, 39-47.
- Carolin, C. F., Kumar, P. S., Saravanan, A., Toshiba, G. J. & Naushad, M. 2017. Efficient techniques for the removal of toxic heavy metals from aquatic environment: a review. *Journal of Environmental Chemical Engineering*, 5, 2782-2799.
- Changmai, M. & Purkait, M. K. 2017. Kinetics, equilibrium and thermodynamic study of phenol adsorption using  $\text{NiFe}_2\text{O}_4$  nanoparticles aggregated on PAC. *Journal of Water Process Engineering*, 16, 90-97.
- Crini, G. & Badot, P.-M. 2008. Application of chitosan, a natural aminopolysaccharide, for dye removal from aqueous solutions by adsorption processes using batch studies: a review of recent literature. *Progress in Polymer Science*, 33, 399-447.
- Dananjaya, S. H. S., Kumar, R. S., Yang, M., Nikapitiya, C., Lee, J. & De Zoysa, M. 2018. Synthesis, characterization of ZnO-chitosan nanocomposites and evaluation of its antifungal activity against pathogenic *Candida albicans*. *International Journal of Biological Macromolecules*, 108, 1281-1288.
- Fan, C., Li, K., Li, J., Ying, D., Wang, Y. & Jia, J. 2017. Comparative and competitive adsorption of Pb (II) and Cu(II) using tetraethylenepentamine modified chitosan/ $\text{CoFe}_2\text{O}_4$  particles. *Journal of Hazardous Materials*, 326, 211-220.
- Gupta, V. K. & Suhas 2009. Application of low-cost adsorbents for dye removal--a review. *Journal of Environmental Management*, 90, 2313-2342.
- He, J., Li, Y., Wang, C., Zhang, K., Lin, D., Kong, L., et al. 2017. Rapid adsorption of Pb, Cu and Cd from aqueous solutions by  $\beta$ -cyclodextrin polymers. *Applied Surface Science*, 426, 29-39.
- Homayonfard, A., Miralinaghi, M., Shirazi, R. H. S. M. & Moniri, E. 2018. Efficient removal of cadmium (II) ions from aqueous solution by  $\text{CoFe}_2\text{O}_4$ /chitosan and  $\text{NiFe}_2\text{O}_4$ /chitosan composites as adsorbents. *Water Science and Technology*, 78, 2297-2307.
- Hu, J., Chen, C., Zhu, X. & Wang, X. 2009. Removal of chromium from aqueous solution by using oxidized multiwalled carbon nanotubes. *Journal of Hazardous Materials*, 162, 1542-1550.
- Ihsanullah, Abbas, A., Al-Amer, A. M., Laoui, T., Al-Marri, M. J., Nasser, M. S., et al. 2016. Heavy metal removal from aqueous solution by advanced carbon nanotubes: critical review of adsorption applications. *Separation and Purification Technology*, 157, 141-161.



- Inyang, M. I., Gao, B., Yao, Y., Xue, Y., Zimmerman, A., Mosa, A., et al. 2015. A review of biochar as a low-cost adsorbent for aqueous heavy metal removal. *Critical Reviews in Environmental Science and Technology*, 46, 406-433.
- Jafari, A. J., Kakavandi, B., Kalantary, R. R., Gharibi, H., Asadi, A., Azari, A., et al. 2016. Application of mesoporous magnetic carbon composite for reactive dyes removal: process optimization using response surface methodology. *Korean Journal of Chemical Engineering*, 33, 2878-2890.
- Kahrizi, P., Mohseni-Shahri, F. S. & Moeinpour, F. 2018. Adsorptive removal of cadmium from aqueous solutions using NiFe<sub>2</sub>O<sub>4</sub>/hydroxyapatite/graphene quantum dots as a novel nano-adsorbent. *Journal of Nanostructure in Chemistry*, 8, 441-452.
- Kazeminezhad, I., Ahmadizadeh, S. & Babaie, A. A. 2014. Application of magnetic hydroxyapatite nanoparticles for removal of Cd<sup>2+</sup> from aqueous solutions. *Journal of Environmental Studies*, 40, 739-750.
- Kefeni, K. K., Mamba, B. B. & Msagati, T. A. M. 2017. Application of spinel ferrite nanoparticles in water and wastewater treatment: a review. *Separation and Purification Technology*, 188, 399-422.
- Li, H., Zhang, L., Sun, Z., Liu, Y., Yang, B. & Yan, S. 2015a. One-step synthesis of magnetic 1,6-hexanediamine-functionalized reduced graphene oxide-zinc ferrite for fast adsorption of Cr (vi). *RSC Advances*, 5, 31787-31797.
- Li, L., Wang, Z., Ma, P., Bai, H., Dong, W. & Chen, M. 2015b. Preparation of polyvinyl alcohol/chitosan hydrogel compounded with graphene oxide to enhance the adsorption properties for Cu (II) in aqueous solution. *Journal of Polymer Research*, 22, 150.
- Li, L. H., Deng, J. C., Deng, H. R., Liu, Z. L. & Xin, L. 2010. Synthesis and characterization of chitosan/ZnO nanoparticle composite membranes. *Carbohydrate Research*, 345 (8), 994-998.
- Lim, A. P. & Aris, A. Z. 2013. A review on economically adsorbents on heavy metals removal in water and wastewater. *Reviews in Environmental Science and Bio/Technology*, 13, 163-181.
- Lingamdinne, L. P., Koduru, J. R., Choi, Y.-L., Chang, Y.-Y. & Yang, J.-K. 2016. Studies on removal of Pb (II) and Cr (III) using graphene oxide based inverse spinel nickel ferrite nano-composite as sorbent. *Hydrometallurgy*, 165, 64-72.
- Liu, F., Zhou, K., Chen, Q., Wang, A. & Chen, W. 2018. Comparative study on the synthesis of magnetic ferrite adsorbent for the removal of Cd(II) from wastewater. *Adsorption Science and Technology*, 36, 1456-1469.
- Liu, Y., Xu, L., Liu, J., Liu, X., Chen, C., Li, G., et al. 2016. Graphene oxides cross-linked with hyperbranched polyethylenimines: preparation, characterization and their potential as recyclable and highly efficient adsorption materials for lead(II) ions. *Chemical Engineering Journal*, 285, 698-708.
- Mehta, D., Mazumdar, S. & Singh, S. K. 2015. Magnetic adsorbents for the treatment of water/wastewater-a review. *Journal of Water Process Engineering*, 7, 244-265.
- Miretzky, P. & Cirelli, A. F. 2009. Hg (II) removal from water by chitosan and chitosan derivatives: a review. *Journal of Hazardous Materials*, 167, 10-23.
- Mohan, D & Pittman, C. U. J. 2007. Arsenic removal from water/wastewater using adsorbents-a critical review. *Journal of Hazardous Materials*, 142, 1-53.
- Mohan, D., Sarswat, A., Ok, Y. S. & Pittman, C. U. J. 2014. Organic and inorganic contaminants removal from water with biochar, a renewable, low cost and sustainable adsorbent-a critical review. *Bioresource Technology*, 160, 191-202.
- Niu, C., Wu, W., Wang, Z., Li, S. & Wang, J. 2007. Adsorption of heavy metal ions from aqueous solution by crosslinked carboxymethyl konjac glucomannan. *Journal of Hazardous Materials*, 141, 209-214.



- Reddy, D. H. & Lee, S. M. 2013. Application of magnetic chitosan composites for the removal of toxic metal and dyes from aqueous solutions. *Advanced Colloid Interface Science*, 201-202, 68-93.
- Santhana K. Kumar, A. & Jiang, S.-J. 2015. Preparation and characterization of exfoliated graphene oxide-l-cystine as an effective adsorbent of Hg (II) adsorption. *RSC Advances*, 5, 6294-6304.
- Santhosh, C., Kollu, P., Felix, S., Velmurugan, V., Jeong, S. K. & Grace, A. N. 2015. CoFe<sub>2</sub>O<sub>4</sub> and NiFe<sub>2</sub>O<sub>4</sub>@graphene adsorbents for heavy metal ions – kinetic and thermodynamic analysis. *RSC Advances*, 5 (28), 28972-965.
- Siddiqui, S. I. & Chaudhry, S. A. 2017. Iron oxide and its modified forms as an adsorbent for arsenic removal: a comprehensive recent advancement. *Process Safety and Environmental Protection*, 111, 592-626.
- Sivashankar, R., Sathya, A. B., VasanthaRaj, K. & Sivasubramanian, V. 2014. Magnetic composite an environmental super adsorbent for dye sequestration – a review. *Environmental Nanotechnology, Monitoring & Management*, 1-2, 36-49.
- Springer, V., Pecini, E. & Avena, M. 2016. Magnetic nickel ferrite nanoparticles for removal of dipyrone from aqueous solutions. *Journal of Environmental Chemical Engineering*, 4, 3882-3890.
- Towler, P. H., Smith, J. D. & Dixon, D. R. 1996. Magnetic recovery of radium, lead and polonium from seawater samples after preconcentration on a magnetic adsorbent of manganese dioxide coated magnetite. *Analytica Chimica Acta*, 328, 53-59.
- Vilela, D., Parmar, J., Zeng, Y., Zhao, Y. & Sanchez, S. 2016. Graphene-based microbots for toxic heavy metal removal and recovery from water. *Nano Letters*, 16, 2860-2866.
- Wang, L., Li, J., Wang, Y., Zhao, L. & Jiang, Q. 2012. Adsorption capability for Congo red on nanocrystalline MFe<sub>2</sub>O<sub>4</sub> (M=Mn, Fe, Co, Ni) spinel ferrites. *Chemical Engineering Journal*, 181-182, 72-79.
- Zavar Mousavi, S. H. & Lotfi, Z. 2015. Removal of nickel and cadmium from aqueous solution by modified magnetic nanoparticles. *Journal of Water and Wastewater*, 26 (1), 11-20. (In Persian)

